

図-9(2). 経済的切換幅員

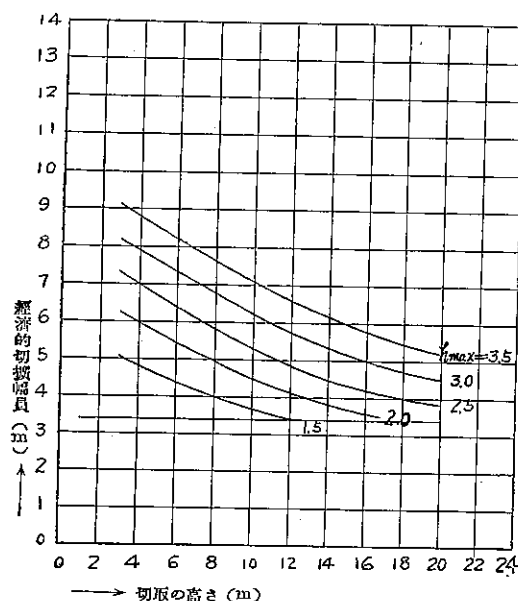
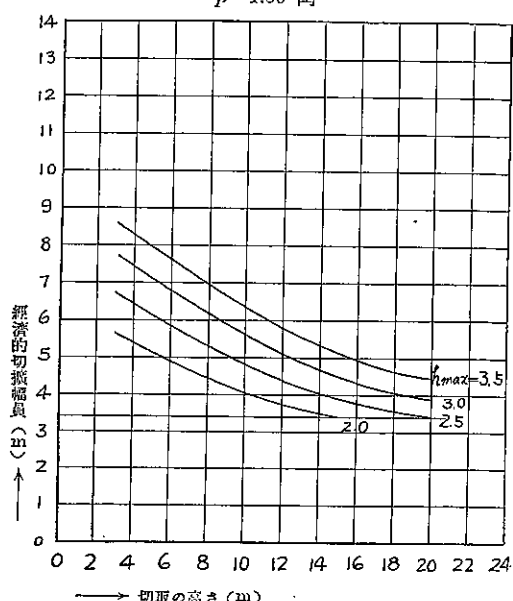
 $p=1.20$  円

図-9(3) 同

 $p=1.50$  円

## 軌道材料の電蝕状態に就て

(昭和 13 年 7 月 16 日土木学会第 2 回年次学術講演会に於て)

会員 山田二三男\*

**要旨** 本文は國有鉄道に於ける軌道材料の電蝕状態の現況を説明し、其の腐蝕電流に関する調査に基づき電蝕被害の軽減方法を併せ述べたものである。

### 目

1. 緒言
3. 電蝕の實状
5. 電蝕軽減方法

### 次

2. 電化區間と電蝕被害箇所
4. 電 蝕 量

### 1. 緒言

一般に地中に埋設された金属体即ち電力ケーブル、通信ケーブル、瓦斯鉄管及水道鉄管が電氣鐵道の軌條から流出する漏洩電流に因つて電氣分解作用を受け、缺損其の他の事故を發生してゐるが、國有鉄道に於ても線路の軌條及附屬品自體が同様に此の被害を受け相當注目すべきものがある。將來益々進展せんとする電化區間の増大に伴ひ、正に緊急之が防止対策をなすべきであるが故に、其の電蝕被害現況を知り、併せて電蝕に關する諸條件を究明する必要がある。

\* 鉄道技師 工学士 鉄道省工務局保線課勤務

## 2. 電化区間と電蝕被害区間

國有鉄道に於ける電化区間は表-1 及図-1 の如くである。

之を昭和 12 年度末本線軌道延長

20 501 km に比較すれば大略 6.4 %  
に相當する。

之等電化区間に於ては總て架空單  
線式を採用し軌條を電車電流の歸路  
に使用して居るが、此の場合には軌  
條より幾何かの電流が土地に漏洩  
し、軌道材料が其の流出箇所に於て  
被害を受ける事は或程度避けられぬ  
事である。而も尙國有鉄道が架空複

線式によらず單線式を採用してゐるのは技術的にも經濟的にも利便があり、のみならず架空電車線の故障が約半減  
する事と、電車への供給線中の電圧降下及電力損失が減少する等の爲である。

以上の電車区間中信越線横川、軽井澤間の碓氷峠の特殊な区間を除けば總て大正年 14 以降に電化せられたもの  
であつて、電蝕被害を我々が認むるに到つたのは漸く昭和 9 年中央線篠子隧道に於てである。即ち昭和 5 年 8 月  
以來鐵道省に於て電化前後の軌條の重量測定をした處、偶々昭和 9 年 8 月に軌條底部に缺損部分のあるのを發見  
したのが最初であつて、次に其の 12 月に遊間整理作業を施行した際各所に同様な状態を見出したので、他の隧道も

図-1. 國有鉄道電化区間略図

昭和 13 年 3 月現在

— 電化区間

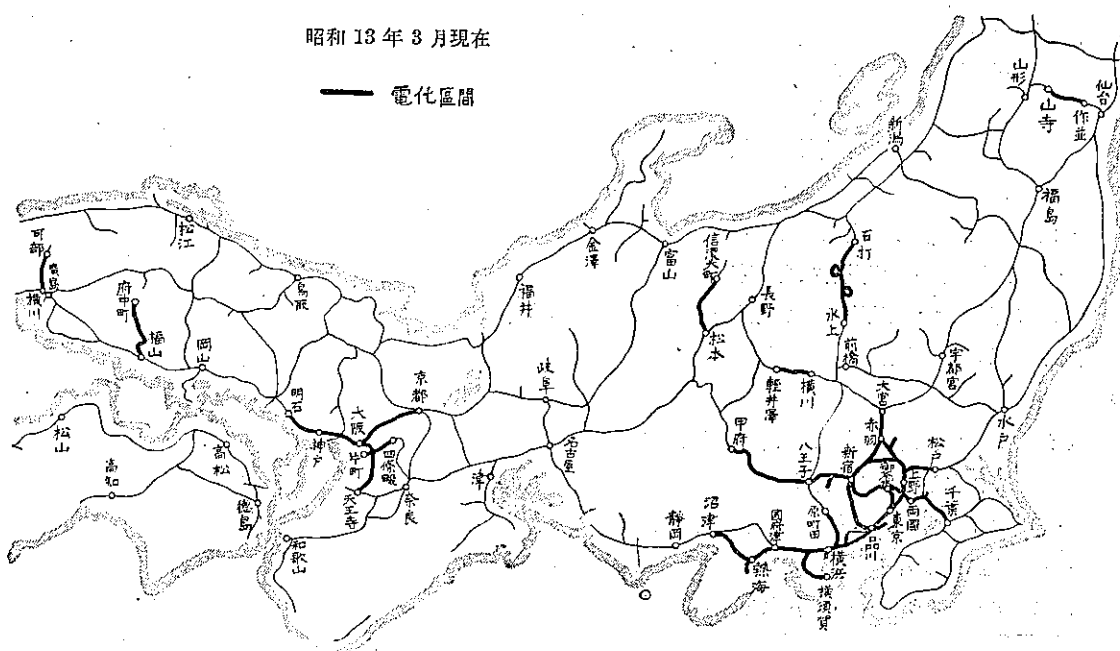


表-1. 電化区間延長調 (昭和 12 年度末)

類別	線路延長 (km)	軌道延長 (km)	記事
電車專用線	129.2d	258.4	
電機車、電車併用線	111.5 d + 40.7 s	263.7	d = 複線軌道
汽車、電車併用線	135.1 d + 84.2 s	354.4	s = 單線軌道
汽車、電機車併用線	63.0 d + 4.9 s	130.9	
電機車專用線	68.4 d + 159.8 s	296.6	
合計		1 304.0	

一齊に調査したのである。然るに當時は小佛隧道以外には其の傾向を認めなかつた。實際其の頃は殆ど電蝕に関する知識が無かつた爲、之等の隧道が電化後既に 3.5 年も経過してゐたわけであつたが電蝕を一般の腐蝕と考へてゐたのであつた。其の後漸次調査の結果、

- 中央線： 淀川初鹿野間各隧道、殊に小佛、笹子兩隧道
- 東海道線： 程ヶ谷戸塚間品濃隧道、小田原早川間小峯隧道
- 横濱線： 小机中山間城山隧道
- 上越線： 水上中里間各隧道、特に松川第 1、第 2 兩隧道
- 總武線： 船橋附近

等に於て電蝕の顯著な事實を知つたのである

### 3. 電 蝕 の 實 状

之等の電蝕箇所及其の電蝕状態の共通點を列挙して見るに、

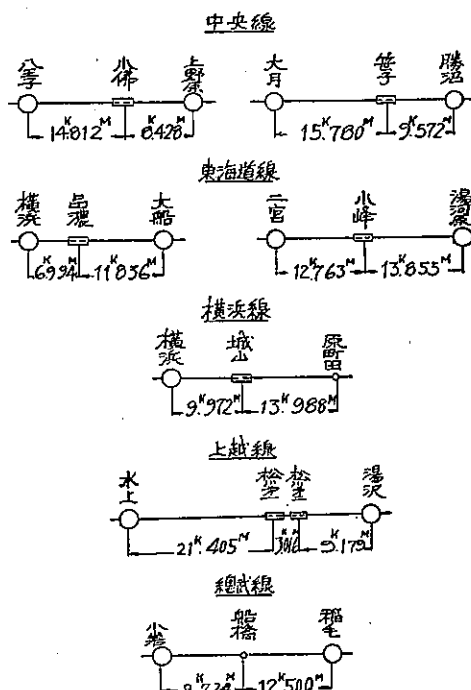
#### 1. 電蝕箇所の共通條件

- (イ) 兩変電所區間の中央に近い事、図-2 に示す如くである。
- (ロ) 隧道である事、總武線以外は總て隧道内である。
- (ハ) 道床に湿氣の多い事 (\* 腐蝕軌條 60 本中 37 本は湿地に發生せり)。
- (ニ) 道床が砂利である事、表-2 に示す如く現在中央線は碎石化せるも他は殆ど砂利を使用してゐる。
- (ホ) 道床バラスト薄き事、(\* 腐蝕せる箇所は枕木下 104 mm で、腐蝕なき箇所は 128 mm であつた)。
- (ヘ) 枕木が素材である事、(\* 素材使用箇所の腐蝕発生率は施薬枕木使用箇所に比較し約 15 % 大であつた)。
- (ト) 滉水が幾分良導体である事。
- (チ) 路盤が比較的良導体である事。

2. 軌條及附屬品の電蝕箇所 電蝕する箇所は何れも軌條と附屬品相互の接觸部分及び等が枕木に接觸する部分である。

- (イ) 軌條： 犬釘又は螺釘との接觸部及タイプレート又は枕木と接觸する底部。
- (ロ) タイプレート： 軌條、枕木及犬釘又は螺釘との接觸部。
- (ハ) 犬釘又は螺釘： 枕木内に打込まれたる全体、頭部及先端。
- (ニ) アンチクリーパー： 枕木との接觸部。

図-2. 電蝕箇所と変電所との關係



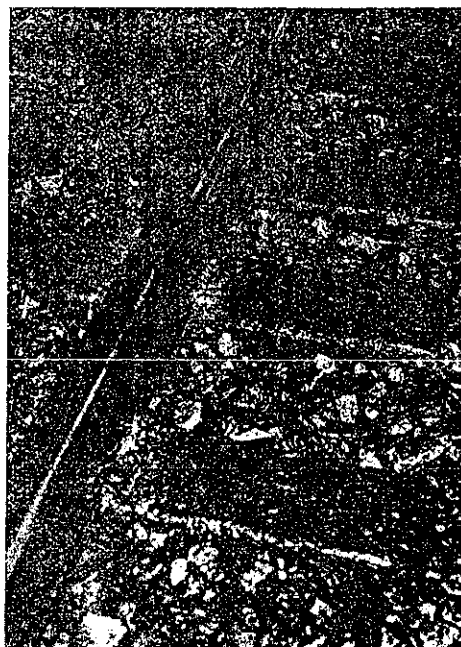
\* 印は昭和 9 年笹子隧道の調査による、尙詳細は鉄道省工務局發行第 21 回保線講話記錄参照

而して電蝕の程度小なる箇所は主として犬釘に発生を見、程度大なる箇所は軌條並にタイププレートに及ぶのである。又此の電蝕の初期に於ては必ず軌條底部に発生した所謂電蝕ガス（第2酸化鉄約84%含有）が恰も赤褐色粘土状となつて枕木上にはみ出すのである。図-3, 4は其の typical な例である。

図-3. 箕子隧道に於ける電蝕初期の  
第2酸化鉄はみ出し状況



図-4. 箕子隧道に於ける電蝕初期の  
第2酸化鉄はみ出し状況



### 3. 電蝕状態の詳細 2.に於て一般的に説明せるものを表-2により各箇所に就き示す事とする。

表-2. 代表箇處の電蝕状態調（昭. 13. 6. 30. 調査） 註（）内数字は参考図番號

箇處名	延長	電化年月	超過年数	道床種類	電 蝕 状 態			電蝕による耐久年限			記 事
					軌 條	タイプレート	犬釘又は螺釘	軌條	タイプ犬釘又は螺釘レート	年	
箕子隧道	4656.03	昭6年4月	同7年2月	碎石（もと筋砂利のものを昭和10年3月電蝕基しき箇處より更換し始め本年3月完了す）	全体に亘り電蝕基しく軌條又は犬釘に接觸する部分は半月形に於ける。その長さ及正矢は共に200mm程度に及び軌條1本付15~20箇所のものあり。又底部の枕木に接觸する部分6~7mm腐蝕す。(12), (13), (14)	軌條と同様に腐蝕基しく軌條及枕木に接觸する部分即ち上下兩面より腐蝕し厚さ4mm(新品18mm)に達せるもの相当あり。故に昭和9年より次第に撤去し現在其の設置延長約2kmとなれり。	(15)	(16), (17)	4.5~6 5~9 3~6	年 年 年	比の外湯ノ花坂橋、横吹第1、奥瀬、横道第2、橋澤、天屋、吉野各隧道に於ても程度低きものあり。尚箕子隧道
小佛隧道	2545.08	昭8年4月	同7年2月	コンクリート	電蝕の状態は箕子と同程度也。底部の枕木に接觸する部分14mm腐蝕し2mm程度になれるものあり。(18), (19)	枕木以上に甚しく厚さ8mmに達せるもの相当あり。	(19)	(20)	5~7 5~7 6	年 年 年	に於ては本年3月軌條更換せる箇所に於て既に軌條の電蝕を感知する程度也。
平野隧道	271.73	昭6年4月	同7年2月	碎石	電蝕相当大にして軌條と螺釘の接觸部の缺損甚しきものあり。(21)	軌條と同様に電蝕局部的であるが厚さ5mm程度に達せるものあり。			9 6~9 6	年 年 年	

更に枕木の壽命を考ふるに軌條底部半月形腐蝕により軌條の締着困難となり、犬釘打換作業による枕木の損傷も當然増加される理で、篠子隧道の甚しい例によると大略其の壽命が半減され4ヶ年程度となつてゐる。

今上記の軌道材料各種につき概略的に普通線路と比較すれば表-3となる。

之等の壽命の差により電蝕の有無による線路保守費の増額を詳細に知る事は電蝕防止施設計畫に必要缺く可からざる要素である。一例として篠子隧道の線路1km當り1年間の保守費の増額を調べたるに約3000円を得たり。

表-3. 軌道材料耐久年限比較

品名	線別	普通線路	電蝕線路
軌條		15年	5~9年
タイプレート		20〃	5~9〃
螺釘又は犬釘		10〃	3~7〃
枕木		8〃	4~7〃

#### 4. 電 蝕 量

一般に金屬が電氣分離作用を受ける場合にはフアラデーの法則が存在する。

$$IW = izt$$

茲に  $W$ : 電蝕量,  $i$ : 通過電流(アムペア),  $t$ : 電流通過時間(秒),  $z$ : 電氣化學當量  
而して軌條を構成する鋼に於ては

$$z=0.2898$$

であるから 1アムペア時の電氣量に付きフアラデーの法則により鋼が電蝕する量は 1.0430 gr で 1アムペア 1年間には 9.13kg 電蝕する事になる。

又此の際生ずる生成物は青味が入つた黒名の酸化第1鉄(FeO)であるが之は不安定で直ぐ酸化し、赤褐色の酸化第2鉄(Fe<sub>2</sub>O<sub>3</sub>)となり其の容積は母材の約2~3倍となる(自然腐蝕の場合には、四三酸化鉄(Fe<sub>3</sub>O<sub>4</sub>)、所謂赤錆を生ずる)。

尙實際軌道に於て生ずる電蝕量は道床の温度、湿度等により左右せられる。即ち

$$W: 實際の電蝕量, \gamma: 腐蝕能率 とすれば IW = \gamma i z t$$

で示される。

例へば總武線船橋駅構内に於ては、實測結果によれば、犬釘電流は 1.12~2.22 mA/10V、軌條對地電圧は 20.0V であるから、 $\gamma=1$  と假定すれば、犬釘の 1 年間の電蝕量は 20~40 gr に達する事になる。

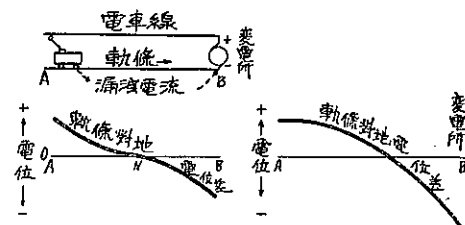
$$\text{例. } W = 9.13 \times 1.12 \times 2.0 = 20.45 \text{ gr}$$

實際船橋駅構内に於ける犬釘の電蝕量は 1 年間 25 gr 程度である。

而して此の通過電流即ち電蝕を發生せしむる電流は電車電流の歸路として使用せられる軌條より漏洩するものであつて、例へば一変電所區間に電車1輛が運転せられてゐる場合、即ち單一負荷の場合には A-B 間の軌條の電圧は 図-5 の如く或る部分では大地より高く、或る部分では大地より低くなるが漏洩電流は此の電位差に比例して増減し軌條の漏洩抵抗に逆比例する。

又列車の頻繁區間に於ては分布負荷の状態に近づき其の電位差は 図-5. b の如くになる。

図-5. 軌條對地電圧分布図  
(a) 単一負荷の場合 (b) 分布負荷の場合



$$\text{即ち } i = E/R$$

茲に  $E$ : 軌條の對地電圧(ボルト)

$R$ : 軌條と大地との間の漏洩抵抗(オーム)

故に電蝕量  $W$  は

$$W = \frac{E}{R} \eta z t$$

にて示されるが故に、電蝕量を軽減せんとすれば、

- (1) 軌條電圧  $E$  を小にする事、(2) 漏洩抵抗  $R$  を大にする事、(3) 電蝕能率  $\eta$  を小にする事となるのである。

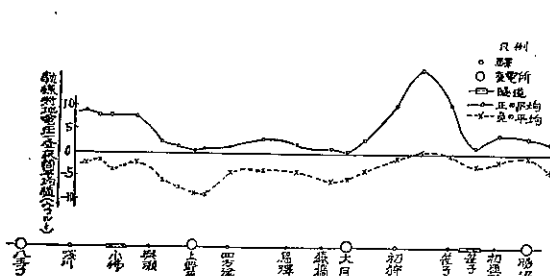
## 5. 電蝕被害軽減方法

### A. 軌道電圧を小にする方法

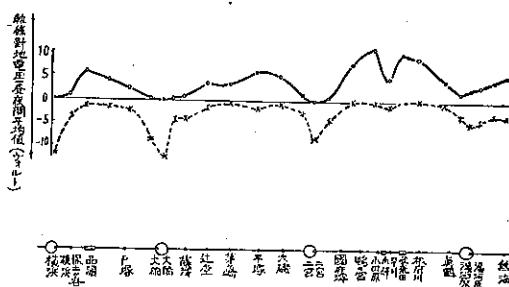
1. 電蝕被害大なる前述の箇所其の他につき軌條對地電圧を測定せるに表-4 及 図-6 の如くである。

図-6. 軌條對地電圧實測分布圖

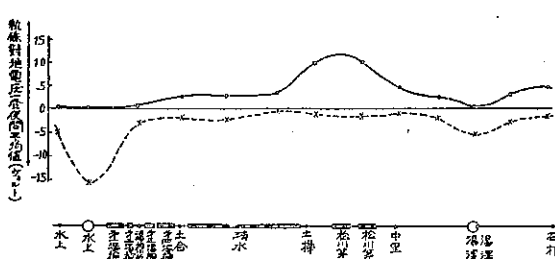
(1) 中央線(昭. 11. 11~12. 測定)



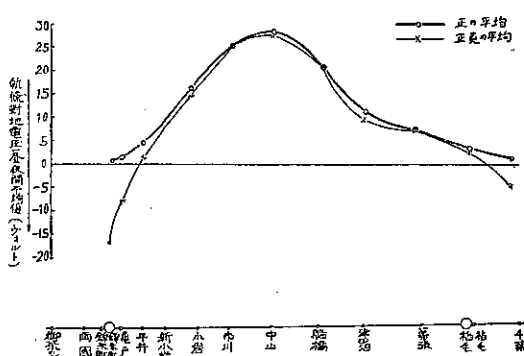
(2) 東海道線(昭. 4. 6. 測定)



(3) 上越線(昭. 12. 10~11. 測定)



(4) 総武線(昭. 10. 12~11. 2. 測定)



之等に依れば軌條對地電圧の正の 1 日間の平均値に於て椎子, 小佛は 4~8 V, 小峰は 8 V, 松川は 6~9 V, 船橋附近は 20 V, 品濃は 5 V で, 清水, 丹那は 2 V 以下である。前者は正の値が大部分, 負の値は零か或は殆ど無く, 後者は正値, 負値共相當な割合に存在して交替し此處には電蝕として見るべきものがない。

又 図-6 の軌條電圧分布測定値より見るも正の値 6 V 程度以上の箇所に隧道があれば電蝕被害は充分豫知せら

れるのである。

表-4. 軌條對地電圧實測値

隧 道 名	軌條對地電圧 1 日間平均値		測定年月
	正の値	負の値	
中央線笹子隧道(東口)	7.85 V	0 V	昭. 10. 6.
〃 (中央)	3.71	0.78	〃
中央線小佛隧道(中央)	6.68	0.38	10. 7.
東海道線小峰隧道	6.72	0.37	10. 8.
〃	8.00	0.19	〃
東海道線品濃隧道	5.00	1.50	4. 3.
東海道線丹那隧道(中央)	1.86	1.22	10. 8.
上越線清水隧道(中央)	1.79	0.55	〃
〃 (北口)	1.60	1.17	〃
上越線松川第1隧道	5.75	0.36	11. 9.
〃	8.44 (正負差引値)	—	12. 10.
上越線松川第2隧道	8.62 (〃)	—	〃
總武線船橋驛附近	20.00	—	11. 2.

## 2. 軌條の對地電圧を低下せしむるには大体次の方法が考へられる。即ち

- (1) 変電所饋電區域を縮小する、(2) 軌條の重量を増大する、(3) 軌條ボンドを或可く太くし、導率を大とする
  - (4) クロスボンドを設ける、(5) 補助饋線を設ける
- 等である。

今(1)に就て少しく説明するに、

電蝕被害各地に於ける変電所の間隔は比較的大で図-2 の如く 19~34km であつて、之等の對地電圧分布實測図は図-6 の如くである。

尙変電所間隔に對する軌條對地電圧の変化の割合を一例を以て図示すれば図-7 の如くで、即ち変電所間隔 20km の軌條對地電圧を 100 とすれば、間隔がその 1/2 となれば電圧は約 1/3 となり、間隔が  $1\frac{1}{2}$  倍となれば電圧は約 2 倍となるのであつて、軌條對地電圧を小にせんとすれば適當の間隔に変電所を設置する必要がある。而も此の事は電力供給側よりも重要な問題である。

### B. 漏洩抵抗 $R$ を大にする方法

1. 軌道床の電氣抵抗を高め軌條よりの漏洩電流を軽減する事は重要な問題であるが、前記の如き軌條電圧を有する箇所に於ては大体電氣抵抗値はどの位の値に於て電蝕被害を受けるかをみるに図-8 の如く各箇所の調査結果よりすれば測定値は大体 6000~10000 オーム附近に集中してゐる。

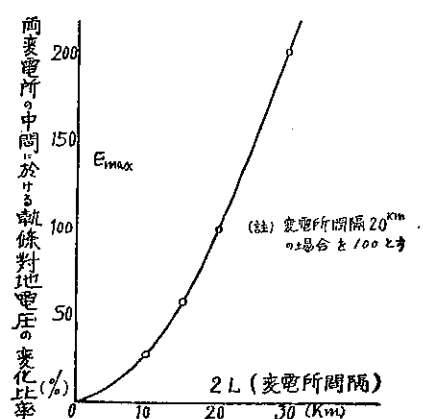
図-7. 変電所間隔と軌條對地電圧との關係

$$E_m = i_0 \rho \left\{ 1 - \frac{\alpha L}{\sinh \alpha L} \right\}$$

$$R = 0.0165 \Omega/km \text{ 50 kg rail}$$

$$\rho = 20 \quad " \quad = \text{漏洩抵抗}$$

$$\alpha = \sqrt{\frac{R}{\rho}} = \text{漏洩係数}$$



今 軌條對地電圧平均値  $E=10\text{ V}$   
許容流出電流密度  $i=0.75\text{ mA}$

とすれば、犬釘の枕木に接觸する面積は約  $0.6\text{ dm}^2$  であるから

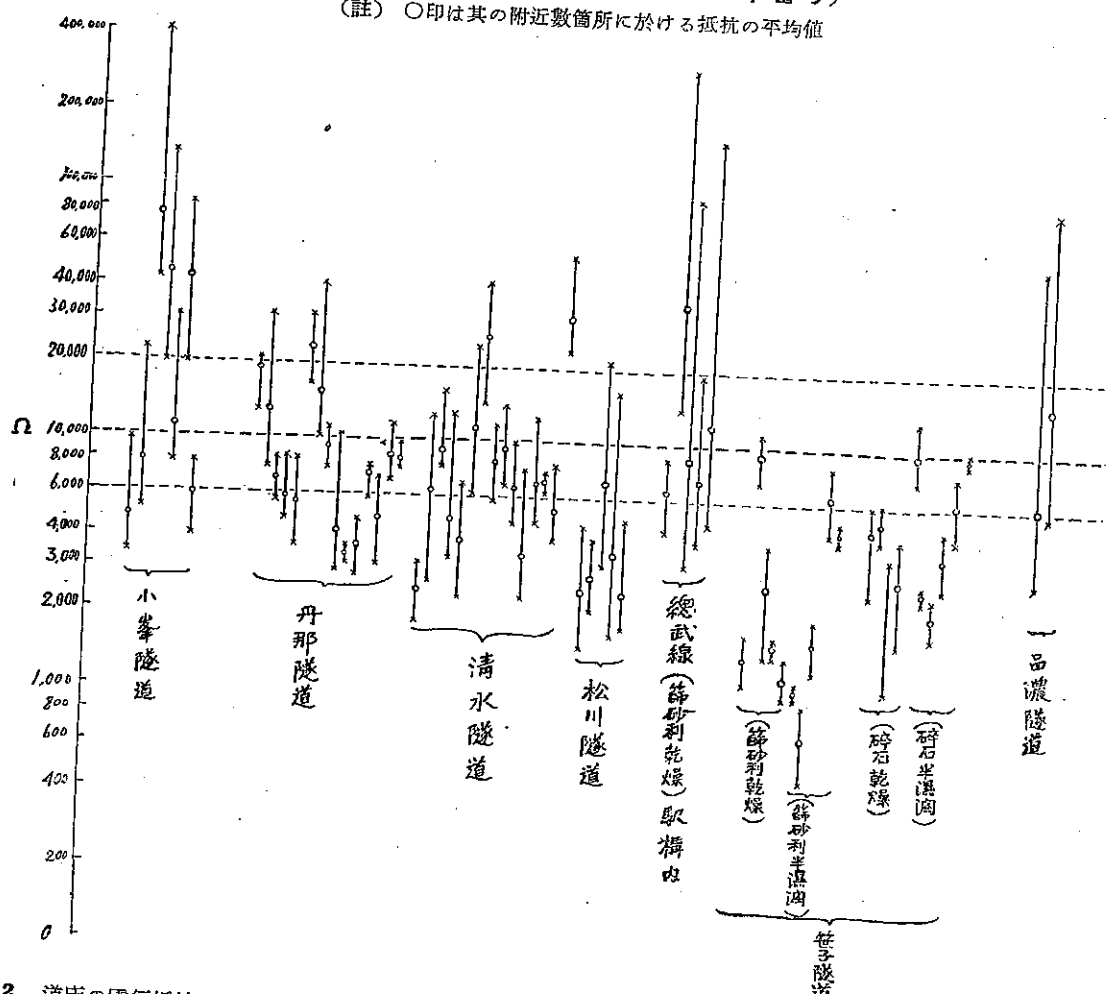
$$R = \frac{10}{0.75 \times 0.6} = 22(\times 10^3 \Omega)$$

となる。

この計算値と 図-8 とを對照すれば之等の箇所に於ては約 20 000 オームあれば電蝕を或程度輕減し得る事を知る。勿論軌條電圧高き箇所に於ては相當大なる抵抗を必要とすべし。

図-8. 軌條の漏洩抵抗(犬釘1本當り)

(註) ○印は其の附近數箇所に於ける抵抗の平均値



## 2. 道床の電氣抵抗

(1) 枕木の抵抗：枕木の材質及種類に對する電氣抵抗は從來種々調査せられてゐるが統計的に判然たる數値を示す事が困難なる故、之に就ては今後の調査に俟つ事とし抽象的に示せば

(イ) 一般に含水量大なる程抵抗は小となる。図-9 は櫟を清水に浸して實測せる一例を示したものである。

- (ロ) 敷設経過年数大なる程小となる。  
 (ハ) クレオソート注入材は素材よりも稍大となる。  
 (=) コンクリート枕木は木材枕木より小である。

例：コンクリート枕木  $1000 \Omega$  (1:2:4 コンクリート  $5160 \Omega/cm^3$ )  
 木材枕木  $10000 \Omega$  (枕木材  $18000 \Omega/cm^3$ )

- (ホ) クリ材は他の材より小である。

表-5 にみる如く、材種によつて異なるが晴雨により 50% 以上の差を示す。

尙枕木の電気抵抗を増大する特殊の方法としてパラフィン注入を試みたが図-10 の如く其の量相當大とならざれば效果に於てみるべきものなく又 1挺の價格 10 円程度（注入量 20%）となり、今後相當此の種の研究の餘地がある。

表-5. 枕木材種別電気抵抗比較

枕木種別	電気抵抗 ( $k\Omega$ )	
	晴	雨
クリ (素)	2.76	3.89
ブナ (注)	8.06	12.44
マツ (注)	9.44	6.71
ナラ (注)	9.65	6.15

備考：電気抵抗値は敷設状態に於て犬釘 2 本に対するものを示す。

(2) 道床の抵抗：道床は其の含水量少き程抵抗が大となる。即ち

(イ) 碎石と篩砂利との比較を示せば表-6 の如くで、碎石は篩砂利よりも 2 倍以上高く、且其の粒の大なる程それが著しい。

(ロ) 道床バラスト篩分け前後に於ける電気抵抗を比較するに、篩砂利（土砂混入割合約 30%）施行前  $3820 \Omega/cm^3$  のものが施行後  $18450 \Omega/cm^3$  を示せり。即ち砂利篩分けに依り相當に抵抗を増す事が出来る。

(ハ) コンクリート道床に於ては一般にバラスト道床より抵抗低く、

表-6. 道床バラスト種類別電気抵抗

天候	電気抵抗 ( $M\Omega/cm^3$ )		抵抗比	バラスト種別	電気抵抗 ( $k\Omega$ )	
	碎石	篩砂利			晴	雨
晴（雪後 2 日目）	1.99	1.69	1.83	篩砂利	2.24	1.03
雪	4.30	1.70	2.53	碎石(小) 10~50mm	417	4.8
曇（雪後 1 日目）	1.77	0.915	1.93	〃(中) 30~80mm	196	* 73.5
曇	1.76	0.904	1.94	〃(大) 50~100mm	5990	20.9

備考：電気抵抗は犬釘 2 本に対するものを示す  
 \* は雨後 3 日目にして他より遙かに乾燥せり

図-9. 木材の含有水分と電気抵抗の関係（昭 5. 2~5. 6 測定）

試料漆素材

備考：始の状態は絶対乾燥に對し約 10% の水分を含む

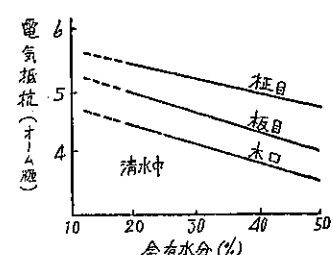
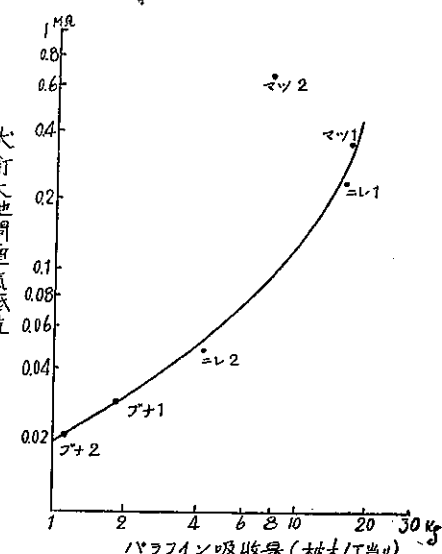


図-10. 枕木のパラフィン吸収量と電気抵抗との関係



1 : 2 : 4 コンクリート  $5160 \Omega/cm^2$

1 : 3 : 6 コンクリート  $8000 \Omega/cm^2$

である。

3. 之等軌道床の電気抵抗を構成する内容を調べてみると、軌条の大地に對する電気抵抗は枕木、道床 パラスト及其の下の廣い土地の状況に關係してゐるが、實測の結果大部分枕木及砂利の部分に存在する事が判つた。

今  $V_1$ : 軌条、大地間電位差  $V_2$ : 軌条、道床 パラスト底部間の電位差  
とすれば  $V_2/V_1$  の實測値は表-7 の如くである。

表-7. 道床部分と路盤との電気抵抗分布率

測定年月	測定場所	$V_2/V_1 (\%)$	$Y (m)$
昭和3年6月	横濱線 小机驛附近	86.5	100
"	" 小机中山の略中間	89.6	"
"	" 長津田驛附近	89.5	"
昭和5年5月	東海道線 戸塚驛附近	73.2	500
"	" 大船変電所附近	93.0	"
"	" 芽ヶ崎驛附近	93.7	400
"	" 二宮変電所附近	90.6	200
"	中央線 荻窪驛附近	80.5	500
"	" 西荻窪驛附近	89.8	"
"	" 武藏境変電所附近	87.4	"
"	" 立川驛附近	78.9	"
	以上平均	86.6	

即ち枕木及パラスト部分の電気抵抗は大体 86.6% で其の他の部分の抵抗は 13.4% である。尙此の 86.6% は枕木と道床 パラストに如何に配分せられてゐるかを實測せるに表-8 を得たのである。

茲に  $V/i$ : 大釘 2 本の大地(軌条より約 100 m 離隔せる地點)に對する電気抵抗

$V_1/V$ : 上記電気抵抗の枕木部分に含まれる割合

$V_2/V$ : 上記電気抵抗の枕木及パラスト部分に含まれる割合

$V_1/i = V/i$   $V_1/V$ : 枕木部分の電気抵抗

$\frac{V_2 - V_1}{i} = V/i (V_2/V - V_1/V)$ : パラスト部分の電気抵抗

表-3 の如く其の 50% 以上は枕木に存し、20% 程度は道床 パラストに存する事が大体判明したのである。而して此の割合も晴雨により相當変動がある。

然し場所によつて異なるが一般に軌道床の電気抵抗を大にするには枕木の抵抗を大とする事が最も望ましい方法であつて、道床 パラストは前述の如く碎石を用ふるとか、篩分けによりそれ自身の抵抗は増すが比較的其の效果は少ない様である。

#### 4. 以上よりして漏洩抵抗を大にする方法を列舉すれば

- (イ) 枕木は完全なる施薬材を使用する事
- (ロ) 碎石砂利を使用する事
- (ハ) 道床 パラストは篩分けを勵行する事
- (ニ) 砂利の厚さを増す事

表-8. 道床部分の電気抵抗比較

測定場所	枕木	バラスト	$V_1/V$ (%)	$V_2/V$ (%)	$V/i$ (kΩ)	$V_1/i$ (kΩ)	$\frac{V_2-V_1}{i}$ (kΩ)
(1) 船橋驛内	ナラ (注)	砂利	76.2 (73.5)	93.3 (93.7)	7.85 (13.1)	6.15 (9.65)	1.13 (2.33)
(2) ノ	マツ (注)	ノ	76.1 (57.9)	89.0 (93.8)	8.82 (15.8)	6.71 (9.44)	0.89 (4.20)
(3) ノ	クリ (素)	ノ	71.1 (62.6)	85.4 (91.5)	4.77 (4.40)	3.39 (2.76)	0.63 (1.06)
(4) ノ	ブナ (注)	ノ	78.3 (77.8)	88.4 (89.9)	9.57 (10.73)	7.49 (8.36)	0.66 (1.21)
(5) 下總中島— 船橋間	ノ	ノ	87.7 (78.2)	95.3 (96.3)	10.14 (8.26)	8.83 (6.50)	0.87 (0.94)
(6) ノ	ノ	碎石 小	72.5 (3.2)	93.5 (96.3)	20.7 (44.1)	15.0 (6.4)	4.8 (417)
(7) ノ	ノ	碎石 大	59.3 (=0)	97.5 (88.2)	111.7 (6790)	54.2 —	20.9 (5990)
(8) 船橋— 津田沼間	ノ	砂利	79.6 (49.5)	93.8 (93.3)	30.2 (24.5)	24.0 (12.1)	4.2 (10.8)
(9) ノ	ノ	碎石 中	23.1 (=0)	87.7 (91.7)	159 (214)	36.7 —	73.5 (196)
平均			69.4 (50.5)	91.9 (92.8)	差	22.5% (42.3%)	

(備考) 括弧なきは雨天、括弧あるは晴天時を示す。

等である。

尙アルマイトの酸化皮膜の絶縁性を利用し軌条と  
タイプレート間にアルマイト板を挿入し軌条の漏洩  
抵抗を高めようと試みたが取付後僅か1ヶ月餘に於  
て殆ど酸化皮膜が傷付いて絶縁の効果を失つたので  
ある。

### C. 電蝕能率 $\gamma$ を小にする方法

電蝕能率とは前述の如く実際に生ずる電蝕量をフ  
アラデーの法則による電蝕量の百分率で示したもの  
であるが、之は非常に複雑な内容をもつてゐるので今後相當研究を要する問題である。然しだ体鉄、クローム、ニッ  
ケル等の合金は電蝕に對して相當抵抗し得る様である。

図-11. 笹子隧道内に於て軌條底部タイプレート間に  
埋めのアルマイト製絶縁板を押入せる状況

参考写真

図-12. 笹子隧道發生品軌條 7 年經過、タイ  
ラレート 5 年經過、螺子 4 年經過  
(昭. 13. 6. 摄)

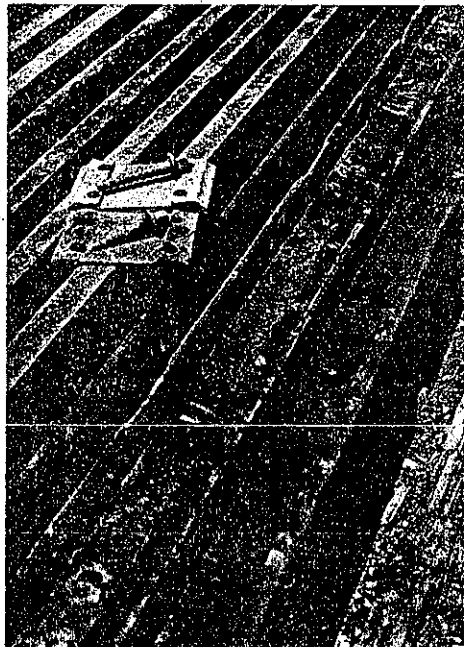


図-15. 小佛隧道發生品 7 年經過  
(昭. 13. 6. 摄)

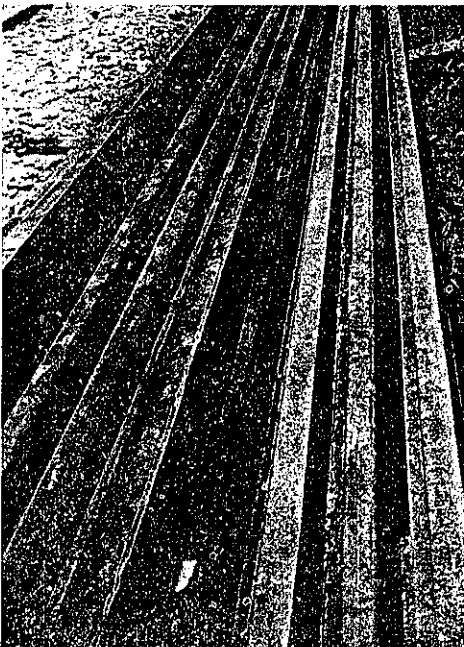


図-13. 笹子隧道 3 年 7箇月經過 (昭. 13. 1. 摄)

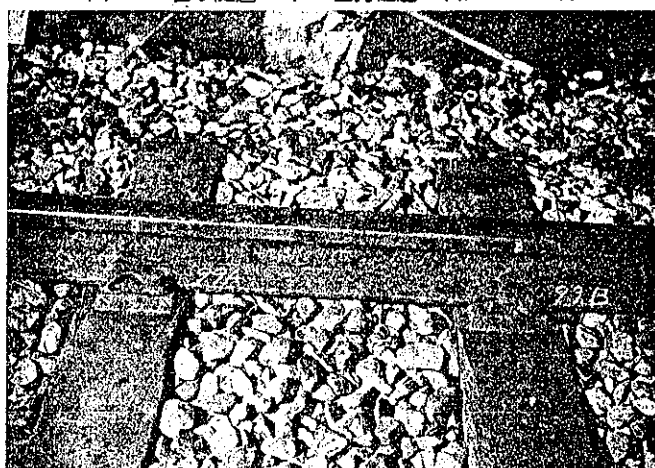


図-14. 笹子隧道 7 年 2 箇月經過 (昭. 13. 6. 摄)



図-16. 笹子、小佛隧道發生品 (昭. 13. 6. 摄)

小佛  
(7年經過)

新

品

新  
(6年經過)

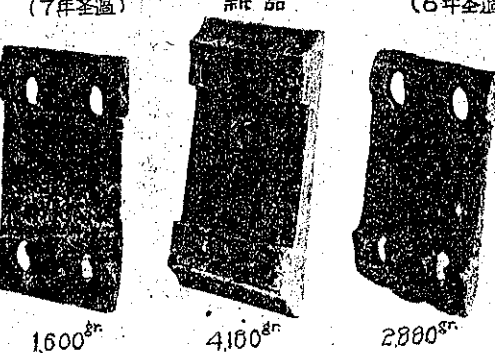


図-17. 笹子隧道發生品(昭. 13. 6. 摄)

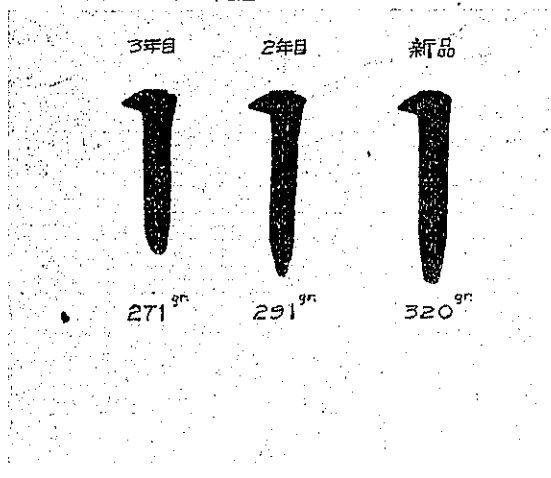


図-19. 笹子隧道發生品(昭. 13. 6. 摄)

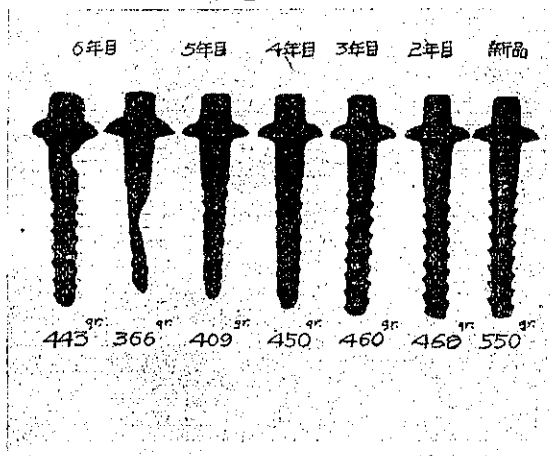


図-18. 小佛隧道 7年2箇月經過(昭. 13. 6. 摄)

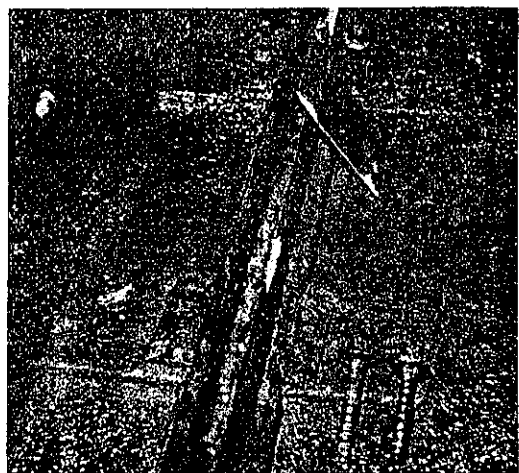


図-20. 平野隧道 タイプレート発生品 7年2箇月經過(昭. 13. 6. 摄)

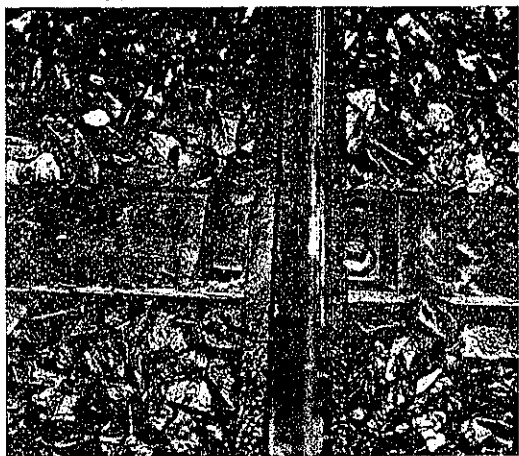


図-21. 小佛隧道發生品(昭. 13. 6. 摄)

